

## АКТИВНЫЕ КОЛЛИМАТОРЫ В ЭКСПЕРИМЕНТАХ С ПУЧКАМИ ЭКЗОТИЧЕСКИХ ЯДЕР

© 2011 г. Ю. Г. Соболев, М. П. Иванов, Н. А. Кондратьев, Ю. Э. Пенионжкевич

Объединенный институт ядерных исследований, Лаборатория ядерных реакций им. Г.Н. Флерова  
Россия, 141980, Дубна Московской обл., ул. Жолио-Кюри, 6

E-mail: sobolev@nrmail.jinr.ru

Поступила в редакцию 21.12.2010 г.

Описывается метод активного коллиматора для проведения экспериментов с пучками экзотических ядер с энергиями вблизи кулоновского барьера ядерных реакций. Методика основана на использовании детекторов из микроканальных пластин (м.к.п.) и тонких полосок металлических фольг толщиной не более 200–300 мкг/см<sup>2</sup> (Au, Ag, Al), ориентированных по X- и Y-осям (ось Z коллинеарна оси пучка). М.к.п. регистрируют проходящие через фольги экзотические ядра по электронной эмиссии из этих фольг, что дает возможность определять пространственную информацию о траектории частицы и временную отметку для регистрации событий. Предложенная установка имеет наименьшее (из существующих методик) количество вещества ( $\leq 8.0 \cdot 10^{17}$  атом/см<sup>2</sup>) в зоне траекторий детектируемых частиц, обладает высокой эффективностью ( $\sim 90\%$  по каждому м.к.п.-тракту) и временным разрешением, достаточным для осуществления дополнительной идентификации радиоактивных ядер по времени пролета.

### ВВЕДЕНИЕ

Непрерывно возрастающий интерес к исследованию реакций с экзотическими ядрами стимулирует дальнейшее развитие экспериментальных методик с пучками радиоактивных ядер, причем наблюдается тенденция их развития в двух направлениях. В первом реализуются экспериментальные методики, ранее отработанные на пучках стабильных ядер и успешно проверенные временем. Поэтому основные требования экспериментальных методик данного направления к пучкам радиоактивных ядер остаются такими же, как и к пучкам стабильных ядер, а именно: это требования к их высокой интенсивности и качеству. Первое требование существенно ограничивает область применения данных методик вследствие низкой интенсивности пучков радиоактивных ядер, так как в настоящее время только ограниченное число изотопов вторичных пучков может частично удовлетворить условию требования высокой интенсивности.

Второе направление характеризуется развитием новых подходов и методик с целью их адаптации к таким параметрам пучков радиоактивных ядер, как низкая интенсивность, сложный состав и низкие оптические параметры.

Наблюдаемая ситуация обусловлена процессом развития методов получения и ускорения пучков радиоактивных ядер, суть которого в том, что к данному моменту, в основном, интенсивно используются и развиваются два метода получения таких пучков [1]. Первый, метод “фрагмент-

сепаратора”, состоит в том, что первичный пучок ионов с кинетической энергией, оптимизированной на максимум выхода продуктов реакции канала фрагментации, взаимодействует с тонкой производящей мишенью, в результате чего образуется вторичный пучок ионов ядер с широкими массовым и зарядовым распределениями. Последующая очистка вторичного пучка осуществляется с помощью фрагмент-сепаратора. Преимущество метода в том, что он позволяет получать пучки короткоживущих радиоактивных ядер, значительно удаленных от линии стабильности. Однако полученные этим методом пучки обладают рядом характерных свойств, осложняющих его применение:

- удельный импульс пучка радиоактивных ядер близок к удельному импульсу первичного пучка;
- широкие импульсное и угловое распределения продуктов фрагментации обуславливают низкие оптические параметры пучка радиоактивных ядер;
- широкие массовое и зарядовое распределения продуктов фрагментации налагают жесткие требования на систему очистки пучка, и в результате пучки радиоактивных ядер имеют сложный элементный состав;
- интенсивность пучка радиоактивных ядер ограничена эффективной толщиной производящих мишеней и составляет не более  $10^6$  с<sup>-1</sup>.

Второй, ISOL-метод (Isotope separation online), имеет целью получение пучка радиоактив-

ных ядер максимальной интенсивности. Он основан на применении составной производящей мишени максимально возможной толщины. Полученные продукты реакции выводятся из мишени, формируются для транспортировки в последующий ускоритель, где они ускоряются до необходимой величины кинетической энергии. Преимущество этого метода основывается на возможности получения им моноизотопных пучков ряда радиоактивных ядер высокой интенсивности (до  $10^{11} \text{ с}^{-1}$ ) с оптическими параметрами пучка, соответствующими пучкам стабильных изотопов. В качестве существенного недостатка ISOL-метода отметим существенное ограничение его применимости на область радиоактивных ядер, обусловленное как их временем жизни, так и суммарным временем диффузии продуктов из мишени и их транспортировки в постускоритель.

Очевидно, что для проведения экспериментов с целью исследования свойств и структуры радиоактивных ядер, значительно удаленных от полосы стабильности, включая и наиболее экзотичные ядерные системы (т.е. с наименьшим временем жизни), необходимо развитие экспериментальных методик второго направления, адаптированных к пучкам короткоживущих радиоактивных ядер, полученных методом “фрагмент-сепаратора”.

Отличительная особенность таких методик состоит в том, что они оперируют не “интегральными” параметрами пучка (эмиттанс, поперечные размеры и т.д.), а “пособытийными” кинематическими характеристиками каждой регистрируемой частицы пучка. В зависимости от поставленной задачи возможно упрощение метода. Например, в измерениях полных сечений реакций учет аксептанса установки позволяет ограничиться регистрацией факта попадания данной частицы (дополнительно необходимы идентификация и измерение энергии) в заданную область мишени. Методики, выполняющие данную задачу с минимальным воздействием на частицу, получили название методик активного коллиматора (а.к.).

В данной работе описаны методики а.к., использованные авторами в ряде экспериментов с пучками радиоактивных ядер как промежуточных (до 100 АМэВ), так и низких энергий (область энергий вблизи кулоновского барьера).

### МЕТОД АКТИВНОГО КОЛЛИМАТОРА

Суть метода активного коллиматора состоит в получении от позиционно-чувствительного детектора удовлетворительно малой толщины логического сигнала, несущего информацию о прохождении частицы в заданную область пространства. Под выражением “удовлетворительно малая толщина” мы полагаем выполнение одного из условий: либо толщина детектора пренебрежимо мала для учета эффекта ее влияния на искомый

результат, либо эффект влияния толщины детектора получен в независимых измерениях, и ее систематическая ошибка не превышает заданную границу.

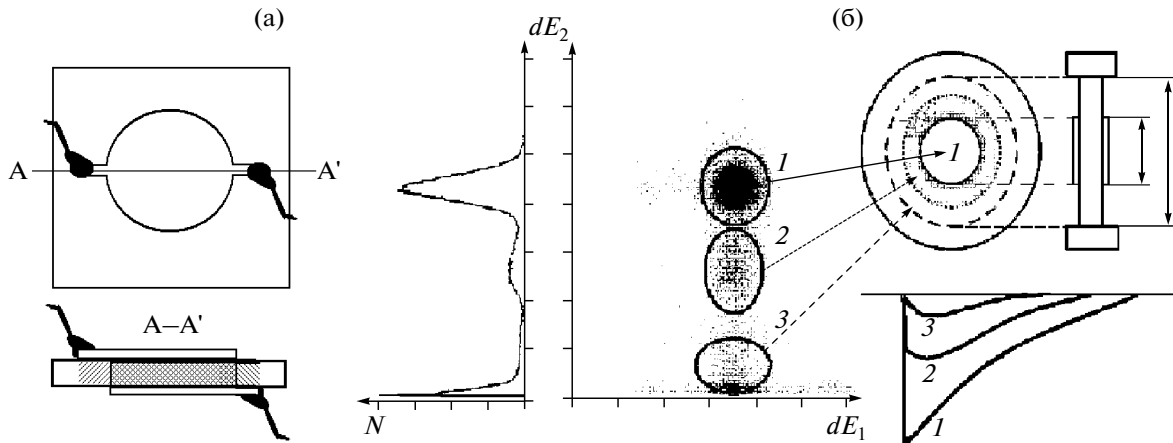
Из этого определения следует “пособытийность” работы а.к.: в каждом событии, предназначенному для записи в память, а.к. поставляет информацию о положении исследуемой частицы.

Ниже рассматриваются два типа используемых нами устройств а.к.: на основе Si-детекторов и детекторов на основе м.к.п. (м.к.п.-детекторов).

### АКТИВНЫЙ КОЛЛИМАТОР НА ОСНОВЕ Si-ДЕТЕКТОРА

Первая группа устройств а.к. успешно использовалась в экспериментах по исследованию функции возбуждения полных сечений реакции  ${}^4, {}^6\text{He} + \text{Si}$  [2, 3]. Схема а.к. на основе Si-детекторов приведена на рис. 1а. Методика основывается на тонких Si-детекторах, удовлетворяющих принципиальному условию — металлизированные выводы электродов детектора для подсоединения контактов выведены из зоны перекрытия обоих электродов.

На рис. 1а детектор схематически представлен в проекции “вид сверху” и в разрезе. Кругом отмечены перекрывающиеся металлизированные поверхности электродов, “лепестками” — выводы для подсоединения контактов. Лепестки электрических выводов находятся на диаметрально-противоположных сторонах электродов детектора и расположены так, чтобы не образовывать зоны перекрытия. Закрашенные поверхности отмечают контакты электродов. Внутренний объем детектора, данного в разрезе, может быть разделен на три зоны детектора: объем с поверхностью, покрытой электродами с двух сторон (зона перекрытия электродов на рис. 1а показана двойной штриховкой), с одной из сторон (одинарная штриховка) и не покрытой электродами (без штриховки). На рис. 1б представлена двумерная  $dE_1 - dE_2$ -матрица энергетических потерь  ${}^6\text{He}$  в материалах соответствующих детекторов, где  $dE_2$  — детектор а.к. толщиной  $H = 19$  мкм. Слева от матрицы приведена ее проекция на  $dE_2$ -ось. Из этого рисунка видно, что благодаря различным условиям сбора носителей заряда в трех вышеуказанных зонах детектор а.к. имеет три различные функции отклика на частицы моноэнергетического пучка. Очевидно, а.к. имеет разные функции отклика  $dE_2$  на частицы с различными энергетическими потерями, что позволяет проводить их идентификацию. Недостатками устройств а.к. на базе Si-детекторов являются их недостаточное быстродействие и большое количество вещества материала детектора (Si: 11 мкм  $\sim 5.5 \cdot 10^{19}$  атом/см $^2$ ). Второй фактор становится существенным при снижении энергии пучков к величине кулоновского барьера.



**Рис. 1.** а – схематическое изображение активного коллиматора с Si-детектором; б – двумерная  $dE_1 - dE_2$ -матрица энергетических потерь частиц и проекция матрицы на ось  $dE_2$ .

Действительно, чтобы измерить сечение реакции  ${}^6\text{He} + {}^{189}\text{Au}$  и  ${}^6\text{He} + {}^{28}\text{Si}$  для энергии пучка  $E = 15$  МэВ при точности измерения энергии  $\Delta E < 1$  МэВ толщины  $H$  соответствующих мишеней должны быть ограничены величинами  $H < 3$  мкм и  $10$  мкм ( $1.8 \cdot 10^{19}$  и  $5.0 \cdot 10^{19}$  атом/см $^2$ ) соответственно. Оптимально, с точки зрения вносимых погрешностей, иметь перед мишенью вещество а.к., толщина  $H_{\text{а.к.}}$  которого на порядок меньше толщины мишени, т.е.  $H_{\text{а.к.}} \sim 1.0 \cdot 10^{18}$  атом/см $^2$ . К настоящему времени минимальная толщина а.к. с поверхностью площадью  $\sim 1$  см $^2$  ограничена величиной  $H_{\text{а.к.}} \sim 8$  мкм ( $H_{\text{а.к.}} \sim 4.0 \cdot 10^{19}$  атом/см $^2$ ), что совершенно недостаточно для их применения в вышеуказанной области исследований. Это ограничение связано, прежде всего, с проблемами технологий изготовления тонких Si-пластин высокой степени однородности по толщине, а также с возрастающими емкостными шумами детектора.

Между тем в последнее время наиболее интересные результаты экспериментов с радиоактивными ядрами были получены именно при энергиях вблизи кулоновского барьера [4, 5].

### АКТИВНЫЙ КОЛЛИМАТОР НА ОСНОВЕ М.К.П.-ДЕТЕКТОРОВ

С целью существенного уменьшения толщины а.к. был предложен детектор, регистрирующий факт попадания частицы пучка в определенную область мишени по электронам эмиссии. Источником электронов эмиссии служат тонкие фольги определенной формы (например  $X$ - и  $Y$ -полоски из сусального золота толщиной  $H_{\text{а.к.}} \sim 8.0 \cdot 10^{17}$  атом/см $^2$ ), расположенные перед мишенью.

Устройство активного коллиматора на основе м.к.п.-детекторов, собрано на фланце DN160 (см. рис. 2а) и устроено следующим образом. Испускаемые источником  $\alpha$ -частицы последовательно

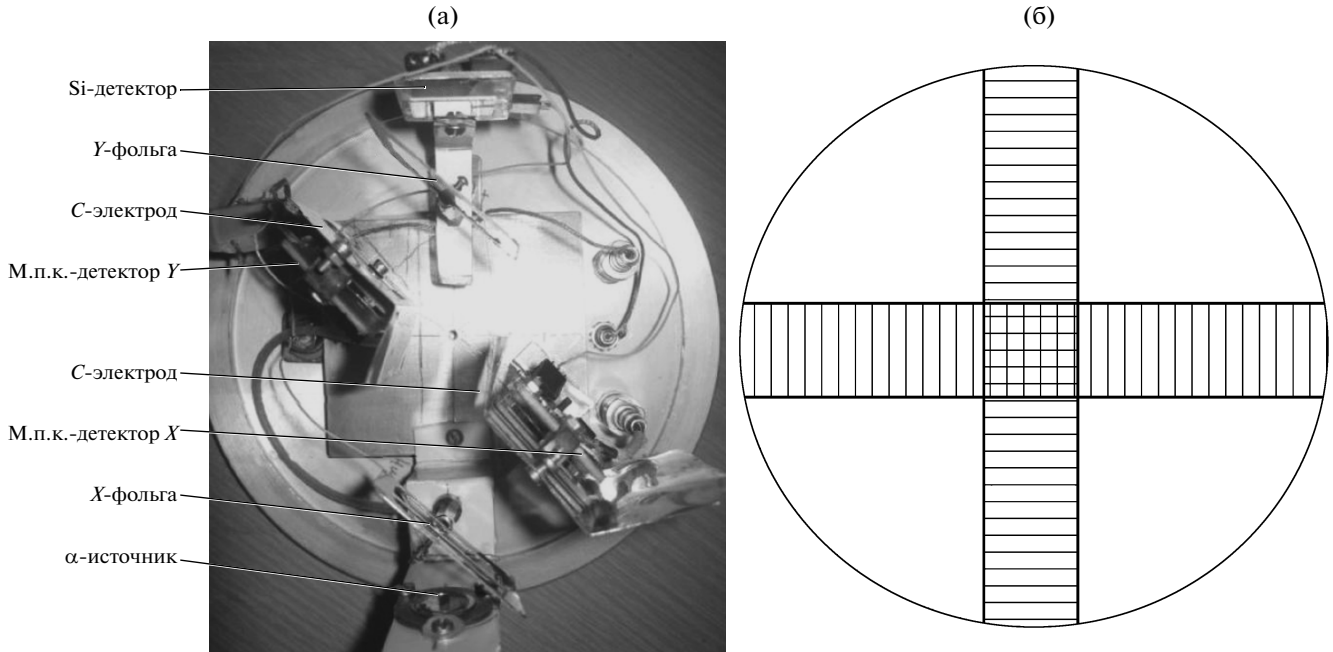
проходят (рис. 3) систему коллиматоров,  $X$ - и  $Y$ -рамки с тонкими полосками металлических фольг толщиной до 200–300 мкг/см $^2$  (сусальное золото, сусальное серебро), ориентированные по  $X$ - и  $Y$ -оси соответственно. Выбитые в процессе ионизационных потерь в фольгах электроны фокусируются электростатическими полями на детекторы м.к.п.  $X$  и м.к.п.  $Y$ . Фокусировка электронов осуществляется системой электродов ( $X$ -фольга,  $C$ -электрод,  $Y$ -фольга), находящихся под потенциалами  $HV_X$ ,  $HV_C$ ,  $HV_Y$  соответственно (см. рис. 3). Прощедшие через коллиматор (на рис. 3 отсутствует) и  $X$ ,  $Y$ -рамки частицы попадают в Si-детектор. С помощью Si-детектора проводятся измерения энергии частиц, определяются их энергетические потери, а соответственно, и группы траекторий. На рис. 2б схематично представлены круглое окно коллиматора и  $X$ ,  $Y$ -фольги в проекции на плоскость Si-детектора. Вертикальная и горизонтальная штрихованные полосы в круге соответствуют зонам затенения источника от  $X$ - и  $Y$ -фольги.

В соответствии с энергетическими потерями частиц все траектории частиц можно разделить на три группы:

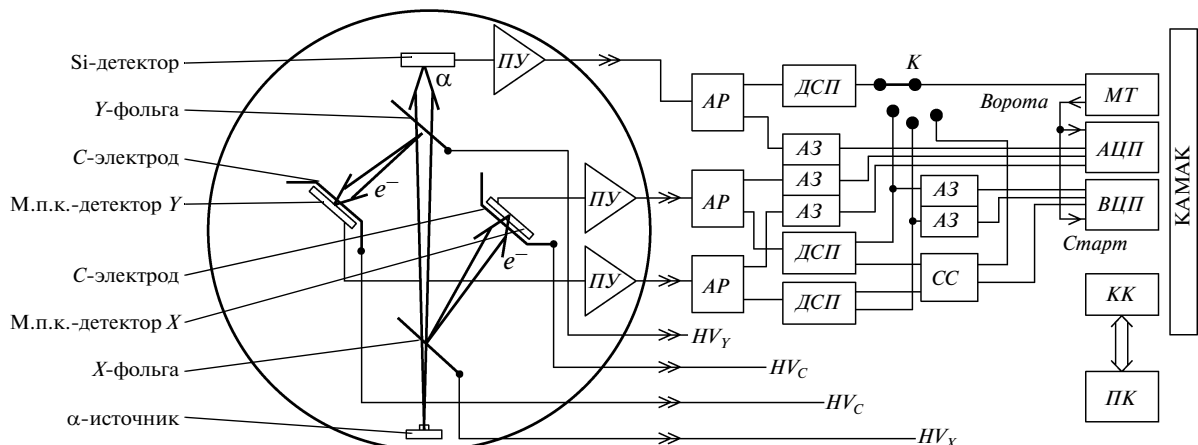
- частицы, влетевшие в детектор без взаимодействия с фольгами (вероятность событий пропорциональна не заштрихованной внутри круга площади, энергетические пики не смещены);

- частицы, попавшие в детектор после прохождения материала одной из фольг (вероятность событий пропорциональна суммарной площади с одинарной горизонтальной или вертикальной штриховкой);

- частицы, зарегистрированные в детекторе после прохождения ими двух фольг (вероятность событий пропорциональна площади с двойной штриховкой).



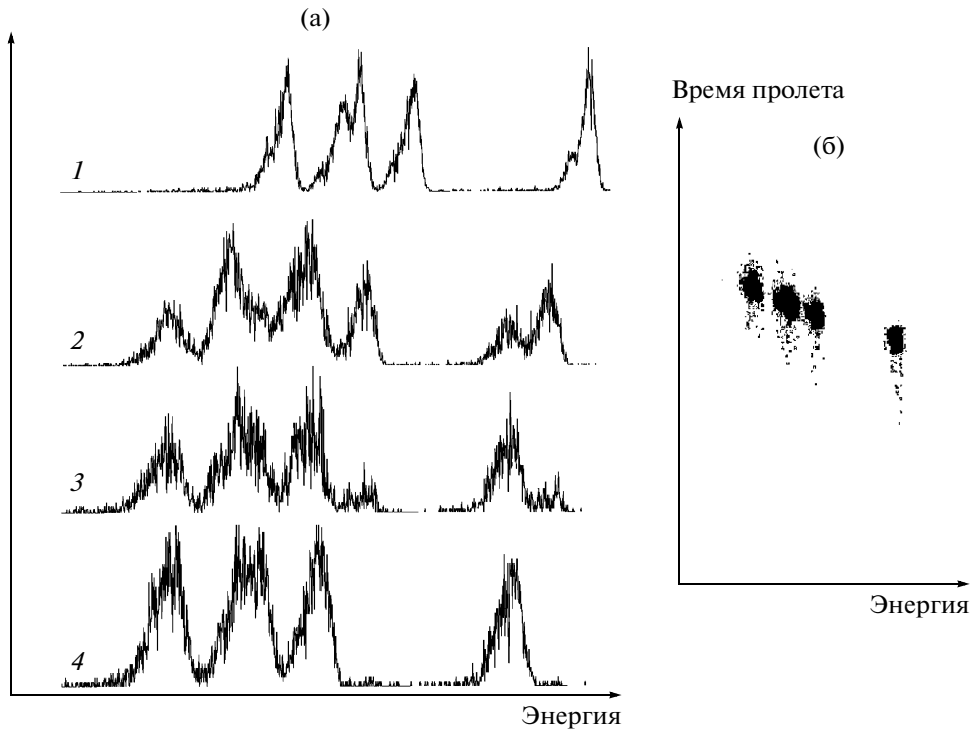
**Рис. 2.** а – активный коллиматор на основе м.к.п.-детекторов (вид сверху); б – схематическое изображение коллиматора и X, Y-фольг (вид со стороны детектора).



**Рис. 3.** Блок-схема электронной системы измерения эффективности и позиционной чувствительности м.к.п.-детекторов активного коллиматора. ПУ – предусилитель, АР – аналоговый разветвитель, ДСП – дискриминатор со следящим порогом, АЗ – аналоговая задержка, СС – схема совпадений, АЦП – аналого-цифровой преобразователь, ВЦП – времяцифровой преобразователь, МТ – мастер-триггер, КК – крейт-контроллер, ПК – персональный компьютер.

Таким образом, измерение в каждом событии энергии регистрируемой частицы дает возможность определять пространственную информацию о траектории частицы в каждом событии, а организация старта регистрации событий от полупроводникового детектора позволяет определять эффективность м.к.п.-детекторов. Данная идея реализована в электронной схеме, представленной на рис. 3. Токовые импульсы с предусилителя ПУ Si-детектора разветвляются аналоговым разветвителем АР и поступают на вход дискриминатора

со следящим порогом ДСП, а через аналоговую задержку АЗ – на вход аналого-цифрового преобразователя АЦП. Логический сигнал с ДСП поступает на переключаемый вход К блока мастер-триггера МТ. При появлении импульса на входе МТ тот вырабатывает импульс стандарта NIM регулируемой длительности, служащий как импульсом Ворота для открытия АЦП, так и импульсом Старт для старта преобразователя время–цифра ВЦП. По истечении заданного времени после появления импульсов Ворота и Старт МТ выраба-



**Рис. 4.** а – энергетические спектры  $\alpha$ -частиц  $^{226}\text{Ra}$ , в соответствии с характерными смещениями пиков которых траектории  $\alpha$ -частиц разделяются на три группы: без взаимодействия (спектр 1), прошедших только через одну из фольг (высокоэнергетические компоненты пиков в спектрах 2 и 3), прошедших сразу через две фольги (низкоэнергетические компоненты пиков в спектрах 2 и 3 и спектр 4); б – двумерный спектр  $\alpha$ -частиц “время пролета – энергия” от источника  $^{226}\text{Ra}$  (время пролета на пролетной базе между X- и Y-фольгами ( $L \sim 11$  см) и энергия  $\alpha$ -частиц в Si-детекторе – в произвольных единицах).

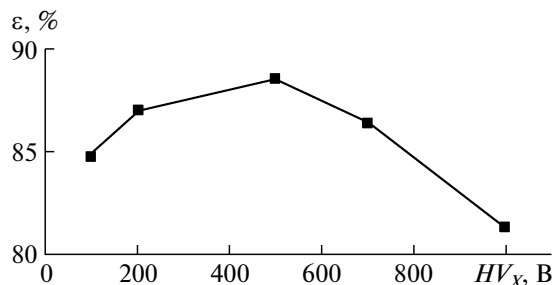
тывается в шину КАМАК сигнал запроса *LAM* к обработке события. Блоки *АЦП* и *ВЦП* постоянно закрыты по входу и открываются только импульсами от *МТ*. Токовые импульсы с предусилителей *ПУ* м.к.п.-детекторов также разветвляются в блоках *AP* и поступают на входы *ДСП*, а через аналоговые (кабельные) задержки *A3* – на входы *АЦП*. Логические сигналы с *ДСП* поступают как на переключаемый вход *K* блока *МТ*, так на схему совпадений *СС* и далее через задержки *A3* на входы “Стоп” *ВЦП*. Выход *СС* также подключен к входу *K* блока *МТ* и к одному из “Стоп”-входов *ВЦП*.

Таким образом, электронная схема установки позволяет организовать записи событий от сигнала любого из детекторов установки, проводить настройку детекторов и определять эффективности как отдельных м.к.п.-детекторов, так и их совпадений, а также получать дополнительную информацию для идентификации частиц по времени пролета. На рис. 4б представлен двумерный спектр “время пролета – энергия”  $\alpha$ -частиц  $^{226}\text{Ra}$ , где по шкале ординат отложено время пролета на времепролетной базе длиной 11 см, а по шкале абсцисс – энергия  $\alpha$ -частиц в Si-детекторе.

На рис. 4а представлены энергетические спектры  $\alpha$ -частиц  $^{226}\text{Ra}$ , полученные при различных

условиях: при отсутствии фольг (спектр 1); в совпадении с м.к.п. *Y* (спектр 2); в совпадении с м.к.п. *X* (спектр 3); в тройных совпадениях Si-детектора с м.к.п. *X* и с м.к.п. *Y* (спектр 4).

Для большей наглядности наличия энергетических сдвигов пиков в спектрах  $\alpha$ -частиц  $^{226}\text{Ra}$ , по которым производится идентификация соответствующих траекторий, на этом рисунке представлены спектры, накопленные при более толстых м.к.п. *X*- и м.к.п. *Y*-фольгах (металлизированный майлар толщиной  $H \sim 3$  мкм). Расщепление смещенного по энергии пика  $E = 7.68$  МэВ в спектрах 2 и 3 соответствует прохождению частицы как через одну, так и две фольги. Отсутствие в спектрах 2 и 3 не смещенной компоненты пика  $E = 7.68$  МэВ отражает факт отсутствия случайных совпадений. В спектре 4 присутствуют только пики, смещенные на величины, соответствующие энергетическим потерям при прохождении частиц через две фольги. С помощью анализа энергетических спектров были определены эффективность  $\epsilon(I)$  регистрации м.к.п.-детекторов и оптимальные величины напряжений смещения как на *X*, *Y*-фольгах, так и на фокусирующих *C*-электродах. В качестве примера на рис. 5 представлена зависимость  $\epsilon(I)$  эффективности регистрации м.к.п.-детектора *X* от напряжения смещения  $HV_X$ .



**Рис. 5.** Функциональная зависимость эффективности регистрации  $\varepsilon(I)$  м.к.п.-детектора  $X$  от напряжения смещения  $HV_X$  при нулевом значении потенциала фокусирующего электрода ( $HV_C = 0$ ).

Данная зависимость эффективности м.к.п.-детектора измерена при регистрации электронов, эмитирующих из сплошной фольги с полностью открытым  $\alpha$ -источником при нулевом значении потенциала фокусирующего электрода и при отсутствии электростатических зеркал, вносящих дополнительное воздействие на частицы пучка. Данная кривая демонстрирует существование оптимальной ( $\varepsilon(I) \sim 90\%$ ) величины потенциала  $HV_X$ , не превышающей нескольких сотен вольт.

## ЗАКЛЮЧЕНИЕ

Для проведения экспериментов с ускоренными пучками экзотических ядер с энергиями вблизи кулоновского барьера ядерных реакций по измерению полных сечений реакции в области низких энергий разработан метод активного коллиматора. Методика содержит два блока м.к.п.-детекторов и тонкие полоски металлических фольг толщиной

не более 200–300 мкг/см<sup>2</sup> (Au, Ag, Al), ориентированные по  $X$ - и  $Y$ -осям плоскости, перпендикулярной оси пучка. М.к.п.-детекторы регистрируют проходящие через фольги экзотические ядра по электронной эмиссии из этих фольг. Это дает возможность определять пространственную информацию о траектории частицы и временную отметку для регистрации событий. Предложенная методика активного коллиматора имеет наименьшее из существующих методик количество вещества  $\sim 8.0 \cdot 10^{17}$  атом/см<sup>2</sup>, обладает высокой эффективностью ( $\varepsilon \sim 90\%$  по каждому м.к.п.-тракту) и временным разрешением, достаточным для осуществления дополнительной идентификации радиоактивных ядер по времени пролета.

Мы благодарны конструктору В.В. Щетинкиной за разработку узлов аппаратуры и Г.Ф. Исаеву за помощь в работе.

Данная работа была выполнена в Лаборатории ядерных реакций им. Г.Н. Флерова ОИЯИ при поддержке гранта РФФИ 09-02-00196а, а также гранта Полномочного представителя Республики Чехия в ОИЯИ.

## СПИСОК ЛИТЕРАТУРЫ

- Пенионжекевич Ю.Э. // ЭЧАЯ. 1994. Т. 25. С. 930.
- Соболев Ю.Г., Будзановский А., Бялковский Э. и др. // Изв. РАН. Сер. физ. 2005. Т. 69. № 11. С. 1603.
- Угрюмов В.Ю., Кузнецов И.В., Бялковский Э. и др. // Ядерная физика. 2005. Т. 68. № 1. С. 17.
- Penionzhkevich Yu.E., Astabatyian R.A., Demekhina N.A. et al. // Eur. Phys. J. A. 2007. V. 31. P. 185; Preprint JINR E7-2006-75. Dubna, 2006.
- Пенионжекевич Ю.Э. // Ядерная физика. 2009. Т. 72. № 10. С. 1674.